

1,

$\omega(k)$ diszperziós fű
3D síkhullám:

$$\psi(r,t) = A \cdot \sin(kr - \omega t)$$

$\varphi = \text{oll, kő,}$
 eris dővődo
 $\frac{\partial}{\partial t}$

$$kr - \omega = \phi$$

$$v_f = \text{fázissebesség} = \dot{x} = \frac{\omega}{k}$$

$$v_{cs} = \text{csoportseb.} = \frac{d\omega}{dk}$$

2. feladat

2,

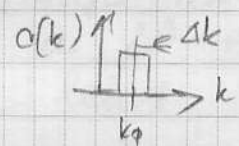
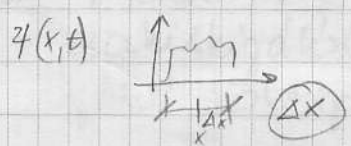
Adott hullámcsomag esetén csoportseb.: $v_{cs} = \frac{d\omega}{dk}$

$$v_{cs} = \frac{d\omega}{dk}$$

A hullámcsomag, mint egyfajta objektum haladán sebessége.
(Legtöbbször a h.c. egy kiküszöbölt pontjával, pl. max.-ummal a hull. seb.-re)

3,

$\psi(x,t)$ hullámcsomag: mivel jobbra lokalizált, a $c(k)$ spektruma auch lokalizált



$$\Delta x \cdot \Delta k = \pi$$

4, Planck
Einstein
Rutherford

Schrödinger
Heisenberg
De Broglie

Compton
Dirac
Pauli
Max Born...

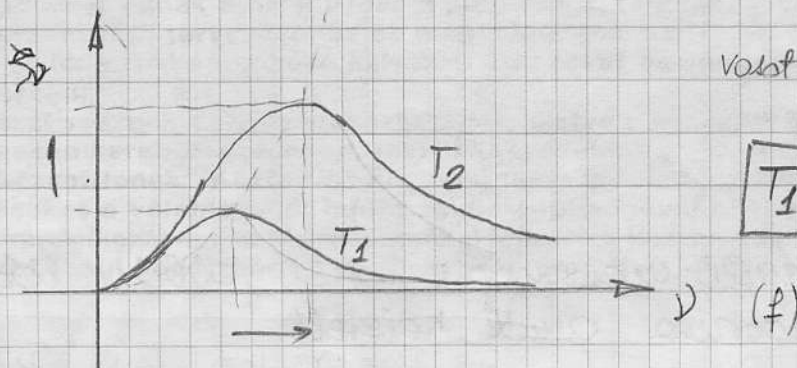
5, Abj. fekete test

def: Az a test, mely a "vörös" EM sugárzást teljes egészében elnyeli.

modell: Tetsz. anyag minőségű, hirtelen anyagba
vált, teljes egészében elnyeli, elegen-
dően kicsiny kivezető nyílás

(∞ sdc reflexió utána.....)

6, Spektrális emissióképlet

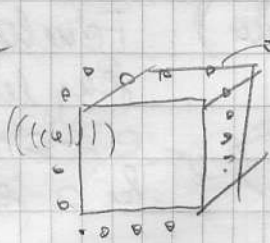


Vast melegítve nő a
frekvencia!!!

$$T_1 < T_2$$

7, Spektrális emissióképlet elvéletileg megk. -re Pláncok modell.

Planck



két atom (Thom.)

Em. állókullduók = Atomi oqállókörök
 energiája dH. energiája (Vféri)

$$\langle \epsilon_p \rangle = \langle \epsilon_p \rangle$$

Hasonosítábe (meic) megkapva, ha $\epsilon_n = n \cdot \boxed{h \cdot \nu}$ $n \in \mathbb{N}$
 \hookrightarrow energiakvantum

8, Planck sugárzási formula

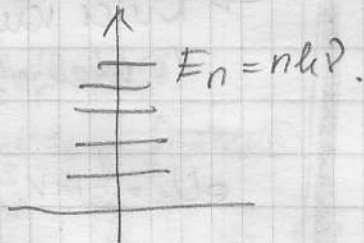
$$\xi_\nu = \frac{h \nu^3}{e^{\frac{h\nu}{kT}} - 1}$$

$$\xi_\nu^{PL} = a_{21} \frac{h \nu^3}{e^{\frac{h\nu}{kT}} - 1}$$

9, Planck kvantálási hipotézis:

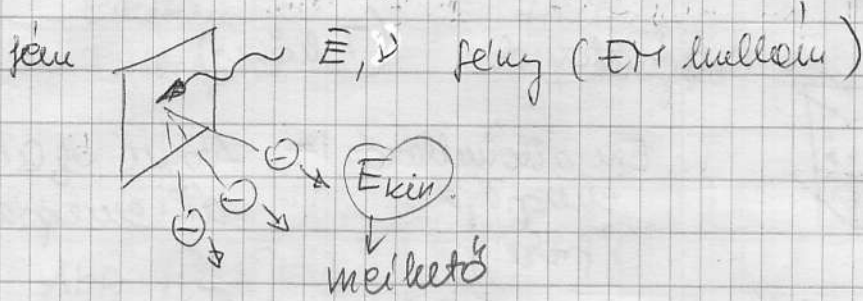
Emisszió kértum alapide: atomi oqállókörök E energiája nem
 folyólagos.

\rightarrow Atom meletü ν frekv. tömegpont energiája
 csak kizárólag a $h\nu$ energiakvantum egész
 számú többszöröse lehet, azaz $\epsilon_n = n h \nu$.



Oqállókör energiája kvantálisan
 változik.

10, Fényelektronos jelenség:



Fémrepro elő fény hatására e^- -t lépnek ki a felület.

11, F.el. jel.: Einstein magyarázata: \uparrow f. helyi működés emisszió abszorpciója hν energiája kvantumosított

A ν frekvenciájú fény ($h\nu$) energiát ad az elektronoknak.

$h\nu$ energiacsomag: FOTON (kvantum)

$h\nu = \Phi + K_{max}$

Ha $\Phi > h\nu$ nem lép ki e^- , Φ : kilépési munka.

Relat. mech.-t alr.-va IMPULZUS rendelhető a fotonhoz

$$E = \sqrt{(m_0 c^2)^2 + (cp)^2} \xrightarrow{m_0=0} \left. \begin{array}{l} E = cp \\ \text{és } E = h\nu \end{array} \right\} p = \frac{h\nu}{c} = \frac{h}{\lambda}$$

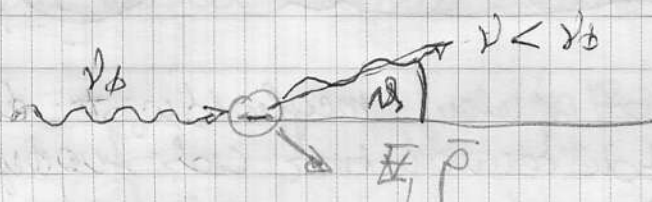
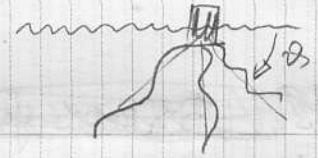
$\rightarrow m_0 = 0$
 $\rightarrow c$ -vel halad

12, A hν en. csomag.

- \rightarrow K nem függ Int.-tól
- \rightarrow Van egy minimális ν .
- \rightarrow Nincs időkeés (lokálizált átibem)

$$eU\phi = \frac{1}{2} m v_{max}^2$$

13, Compton - effektus
Fotóimpulzus közvetlen bizonyítás



$$\Delta\lambda = \lambda (1 - \cos\theta)$$

$$\lambda = \frac{h}{mc}$$

→ röntgenfotó célhorgonya (kathóda)

Fotóimpulzus közvetlen bizonyítás, λ megváltozik a beesési szög képest.

$\Delta\lambda(\theta)$ h. e !!!

→ ANYAG jelen jelenléte !!!

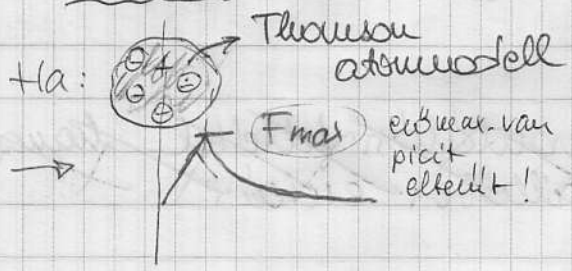
→ e^- -d elmozdulás ball felé.

Jelenlétét: felhívás, "néha este kényes"

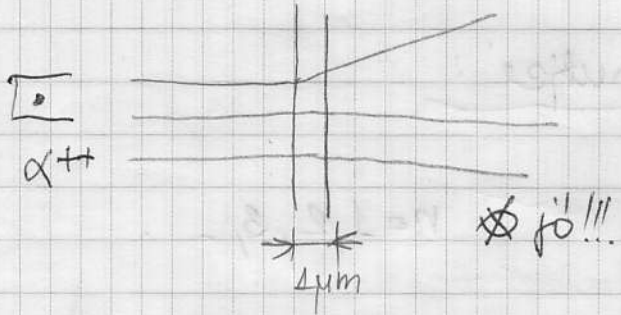
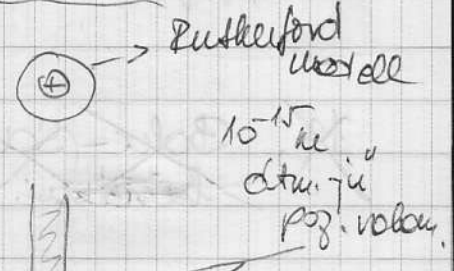
14, Rutherford

He atomot lőtt felületre.

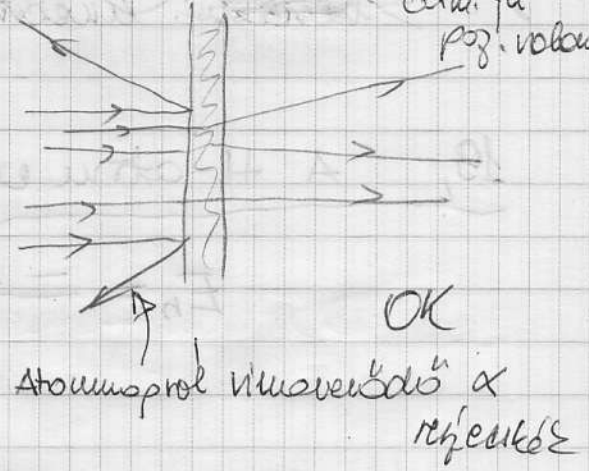
Felület



Valós méretek



α^{++}



15, Balmer - formula:

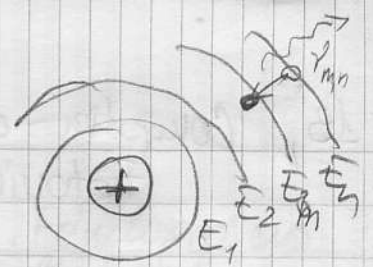
$$\nu = R \cdot \left(\frac{1}{4} - \frac{1}{n^2} \right) = R \cdot \left(\frac{1}{2^2} - \frac{1}{n^2} \right)$$

$n = 3, 4, 5, 6, \dots$

↳ 3, 4, 5, 6, ...

~~1877 Bohr-atommodell~~

16, Bohr - atommodell postulatjai



P1: az e^- -ok (e^- -átalakulón) megfigyelt energiájú körpályákon keringhetnek csak sugarasulást nélkül.
 E_1, E_2, \dots, E_n

P2: e^- magasabb energiájú pályáról alacsonyabbra ugrása a különbözőket ($h\nu$) energiájú foton ~~leadás~~ kibocsátásával leodja.

$$E_n \rightarrow E_m \quad h\nu = E_n - E_m \rightarrow \nu_{m,n} = \frac{E_n - E_m}{h}$$

P3.

Csak az a körpálya stabilis, ahol az e^- perdülete $\therefore L_n = n \cdot h$ $n = 1, 2, 3, \dots$

azaz h egész számú többszöröse.

$$\boxed{L_n = \frac{h}{2\pi}}$$

~~18, Bohr - számjegy kvantálási feltétel transziczió~~
~~középső körpályán az elektron energiája~~

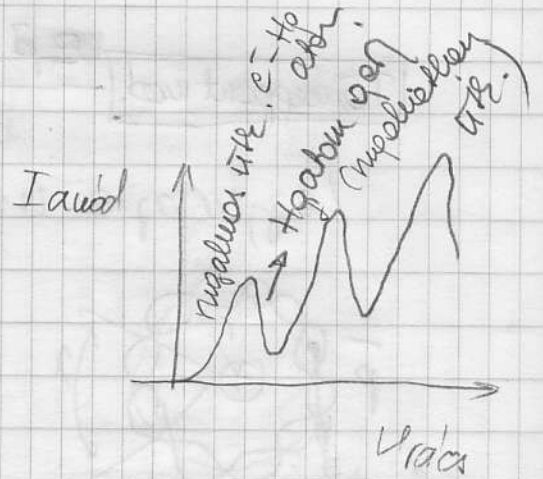
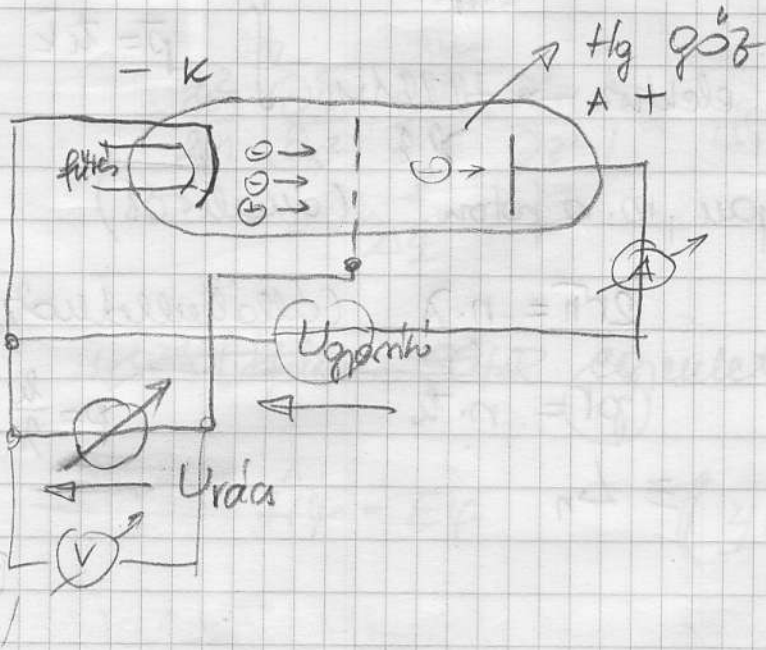
19, A H-atom energiájai:

$$E_n = \frac{-13,6 \text{ eV}}{n^2}$$

$$n = 1, 2, 3, \dots$$

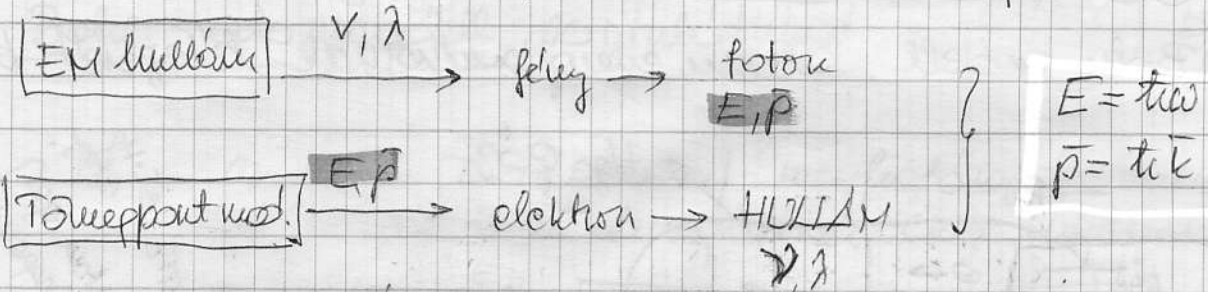
20) Frank - Hertz - kísérlet

Boln modell atomi energiaszintjeinek létezését bizonyítja

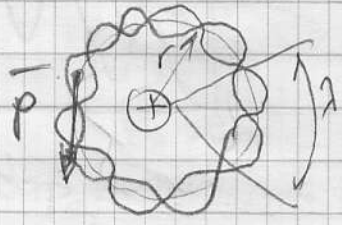


$$k = \frac{2\pi}{\lambda}$$

21. De Broglie hullámok jellemző tulajdonságai



Legyen az e^- is olyan, m. a foton! (dualitás)



$$2r\pi = n \cdot \lambda \quad (\text{állóhullámok})$$

$$\circlearrowleft p r = n \cdot \hbar$$

$$\equiv L_n$$

$$p = \frac{\hbar}{\lambda} \Rightarrow \lambda = \frac{\hbar}{p}$$

22. H atomban kialakuló stacionárius elektron-állapotok de Broglie mozgása:

\rightarrow stac. e^- állapotban az e^- hullámok ^{hullám} összehangol interferenciájából álló hullámot hoz létre

23. Davisson-Germer kísérlet:

$\rightarrow e^-$ hullámtul. kimentetése

Ni egyenlő felületéről kiinduló e^- -t ültetős-előlelelt vizsgáló \rightarrow diffrakció az ültetős atomon



\rightarrow hasonló a röntgen Bragg diffrakciónak

24, Időfüggő SCHR. egyenlet:

$$\hat{H}\Psi = -\frac{\hbar^2}{j} \dot{\Psi}$$

$$-\frac{\hbar^2}{2m} \underbrace{\left(\frac{\partial^2 \Psi}{\partial x^2} + \frac{\partial^2 \Psi}{\partial y^2} + \frac{\partial^2 \Psi}{\partial z^2} \right)}_{\Delta \Psi} + v(r,t) \Psi = -\frac{\hbar^2}{j} \frac{d\Psi}{dt}$$

25, Időtől független SCHR. egyenlet

$$\hat{H}\Psi = E\Psi \quad \left(\Psi(r,t) = \underbrace{\Psi(r)}_{\text{állóhely}} \cdot e^{-j \frac{E}{\hbar} t} \right)$$

26, A $\Psi(r)$ - köz tartozó energia: E .

no

Időfüggő áll. fu: $\Psi(r,t) = \Psi(r) \cdot e^{-j \frac{E}{\hbar} t}$

27, Pareidris de. separabilis:

$M(x,y) dx + N(x,y) dy = 0$ separálható, ha:
felírható a kov. alakban,

$$(f_1(x) \cdot g_1(y)) dx + (f_2(x) \cdot g_2(y)) dy = 0$$

Ekkor ugyanis, ha $g_1(y) \cdot f_2(x) \neq 0$, és elosztva az egyenletet

$$\frac{f_1(x)}{f_2(x)} dx + \frac{g_2(y)}{g_1(y)} dy = 0$$

Vagy más jelöléssel: $F(x) dx + G(y) dy = 0$

Ezzel a
váltással
reducálható

28,

Időfüggő szf. megoldás a + periodikus konstans!

$$\hat{H}\psi = -\frac{\hbar^2}{2m}\nabla^2\psi \rightarrow \textcircled{2} \hat{H}\psi = -\frac{\hbar^2}{2m}\nabla^2\psi \quad / \cdot \frac{1}{\psi}$$

$$\psi(\mathbf{r}, t) = \psi(\mathbf{r}) \cdot \textcircled{2}(t)$$

szeparálható alak

$$\frac{\hat{H}\psi}{\psi} = -\frac{\hbar^2}{2m} \frac{\nabla^2 \textcircled{2}}{\textcircled{2}}$$

(r) (t) függvények

$$\textcircled{2} = \text{all.} \cdot e^{-j\frac{E}{\hbar}t}$$

$$\boxed{\psi(\mathbf{r}, t) = \psi(\mathbf{r}) \cdot e^{-j\frac{E}{\hbar}t}}$$

$$E \textcircled{2} = -\frac{\hbar^2}{2m} \nabla^2 \textcircled{2}$$

$$\boxed{\hat{H}\psi = E\psi}$$

(29) Köztesleges de. megoldásnál használj POLINOM módszert 3 lépésben

30. Hullékészlet fizikai értelmezése:

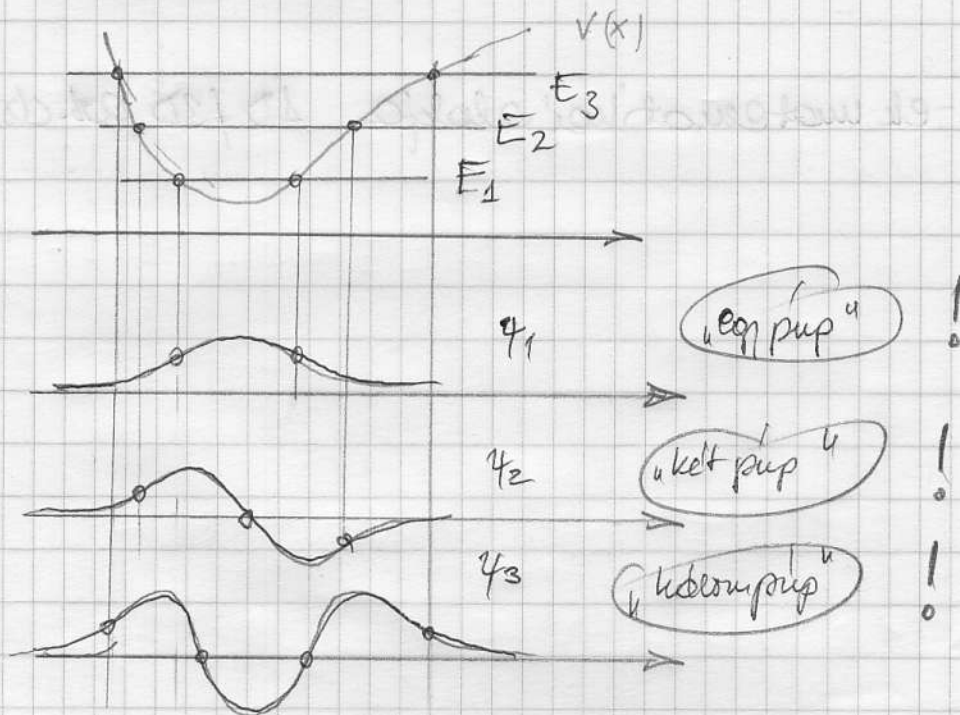
$$\text{Legegyszerűbben } P(\mathbf{r}, t) = |\psi(\mathbf{r}, t)|^2$$

Ekkor $P(\mathbf{r}, t) dV$ annak a valószínűsége, hogy a pontban \mathbf{r} -ben az \mathbf{r} helyvektor dV környezetében van.

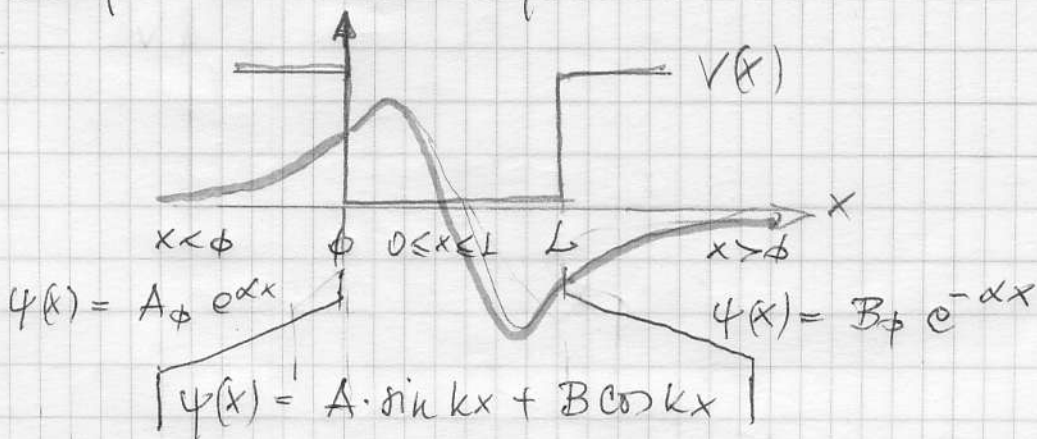
31, Hullócsip. regulátorok feltételei

- $\psi(r,t)$ regulálás, ha
- egyértelmű
 - véges
 - folytonos

32, Adott $V(x)$ pot. en. eseten a kvalitatív helyes n. energiaszintek tartomány ill. fr. (+veflelés pontok)



33, Szögletes potenciálműködésben lévő e^- hullócsip. analitikus alakja a tartományokban



$x = \phi$
 $x = L$
 $\psi(x) = A \cdot \sin kx + B \cdot \cos kx$

$\psi(x) = B \cdot e^{-\alpha x}$

34,
3

Dizkret energiájnálak kvantumgámbolál
Váló függése, 1, 3D pot. dologna
+ kv. gámbolál lehétlépek elte'ke

1D

$$E = E_0 n^2$$

$$(n = 1, 2, 3, \dots)$$

3D

$$E = E_0 (n_x^2 + n_y^2 + n_z^2) \quad (n_x, n_y, n_z = 1, 2, 3, \dots)$$

35. Sajátj. -ek matematikai alólja 1D / 3D pot. dologna

1D

3D